

Tarea grupal AVF

Adrián Sanjurjo García

Universidade de A Coruña

22 de abril de 2021

- 1 Introducción
- 2 Sistema de leyes hiperbólico.
- 3 Sistema estrictamente hiperbólico
- 4 Solución exacta del problema de Riemann
- 5 Solución exacta del problema de Cauchy
- 6 Discretización de ambos problemas. Método de Godunov
- 7 Análisis de precisión

- Problema inicial:

$$\begin{aligned}\frac{\partial u}{\partial t} + \frac{1}{\rho_0} \frac{\partial p}{\partial x} &= 0 \\ \frac{\partial p}{\partial t} + \rho_0 c_0^2 \frac{\partial u}{\partial x} &= 0\end{aligned}\tag{1}$$

- Reescribimos:

$$\vec{\omega} = \begin{pmatrix} u \\ p \end{pmatrix}, \quad \vec{f}(\omega) = A \vec{\omega} = \begin{pmatrix} 0 & \frac{1}{\rho_0} \\ \rho_0 c_0^2 & 0 \end{pmatrix} \begin{pmatrix} u \\ p \end{pmatrix}\tag{2}$$

- ρ densidad, c_0 velocidad del sonido en el medio.

Sistema de leyes hiperbólico.

- Diagonalizamos A :

$$\Lambda = \begin{pmatrix} -c_0 & 0 \\ 0 & c_0 \end{pmatrix} \quad (3)$$

- Matrices de paso:

$$P = \begin{pmatrix} 1 & 1 \\ -c_0\rho_0 & c_0\rho_0 \end{pmatrix}, \quad P^{-1} = \frac{1}{2} \begin{pmatrix} 1 & \frac{-1}{c_0\rho_0} \\ 1 & \frac{1}{c_0\rho_0} \end{pmatrix} \quad (4)$$

- Cambio de variable $\vec{\omega} = P\vec{v}$ en 1:

$$\vec{v}_t + \Lambda \vec{v}_x = 0 \Rightarrow \boxed{\begin{cases} v_{1t} - c_0 v_{1x} = 0 \\ v_{2t} + c_0 v_{2x} = 0 \end{cases}} \quad (5)$$

Sistema estrictamente hiperbólico

- Sistema estrictamente hiperbólico \Leftrightarrow Todos sus autovalores son reales.
- Autovalores del problema $\lambda^{\pm} = \pm c_0 \Leftrightarrow$ Estrictamente hiperbólico.

Solución exacta del problema de Riemann

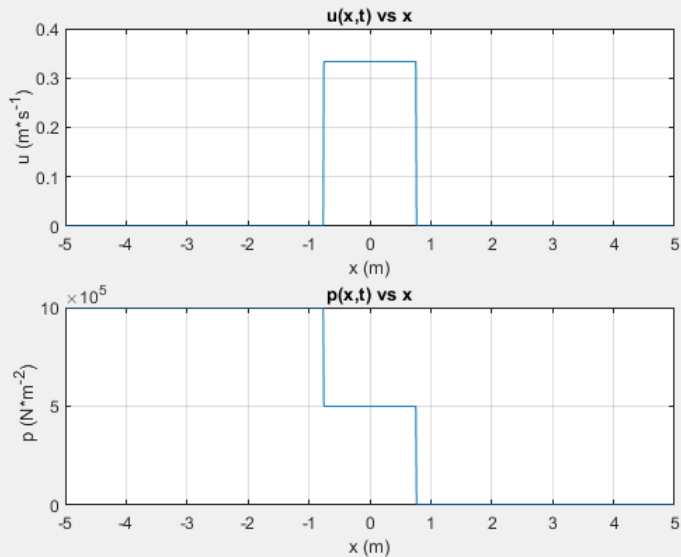
- Condición inicial del problema de Riemann:

$$\vec{\omega}(x, 0) = \vec{\omega}_0(x) = \begin{cases} \vec{\omega}_l = \begin{pmatrix} u_l \\ p_l \end{pmatrix} & x < 0 \\ \vec{\omega}_r = \begin{pmatrix} u_r \\ p_r \end{pmatrix} & x \geq 0 \end{cases} \quad (6)$$

- Datos computacionales:

1. $\rho_0 = 1000$
2. $c_0 = 1500$
3. $u_l = 0, p_l = 10^6, u_r = 0, p_r = 10^3$

Solución exacta del problema de Riemann



Solución exacta del problema de Cauchy

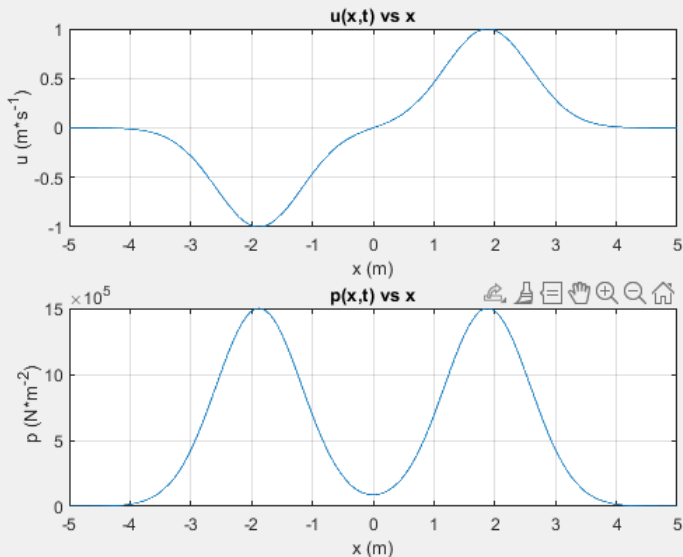
- El cambio de 5 implica:

$$\begin{pmatrix} u \\ p \end{pmatrix} = \begin{pmatrix} v_1(x + c_0 t) + v_2(x - c_0 t) \\ (-v_1(x + c_0 t) + v_2(x - c_0 t))\rho_0 c_0^2 \end{pmatrix} \quad (7)$$

- Suponemos la forma de un pulso:

$$v_1(x + c_0 t) = -e^{-(x+c_0 t)^2}, \quad v_2(x - c_0 t) = e^{-(x-c_0 t)^2} \quad (8)$$

Solución exacta del problema de Cauchy



- Forma del método de Godunov:

$$\vec{\omega}_i^{n+1} = \vec{\omega}_i^n - \frac{\Delta t}{\Delta x} \left\{ \vec{f}_{i+\frac{1}{2}}^n - \vec{f}_{i-\frac{1}{2}}^n \right\} \quad (9)$$

$$\begin{aligned} \vec{f}_{i+\frac{1}{2}}^n &= \frac{1}{2} \left(\vec{f}_i^n + \vec{f}_{i+1}^n \right) - \frac{1}{2} |A| \left(\vec{\omega}_{i+1}^n - \vec{\omega}_i^n \right) \\ \vec{f}_{i-\frac{1}{2}}^n &= \frac{1}{2} \left(\vec{f}_{i-1}^n + \vec{f}_i^n \right) - \frac{1}{2} |A| \left(\vec{\omega}_i^n - \vec{\omega}_{i-1}^n \right) \end{aligned} \quad (10)$$

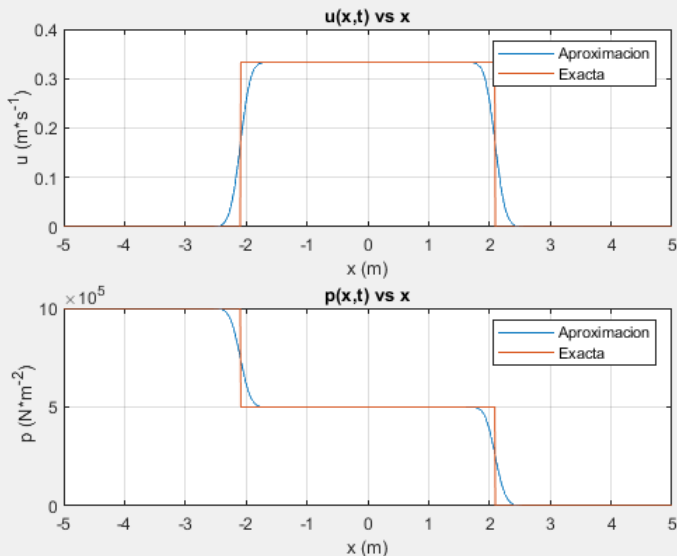
- Donde $|A| = P \operatorname{abs}(\Lambda) P^{-1}$, siendo $\operatorname{abs}(\Lambda)$.

- Resulta:

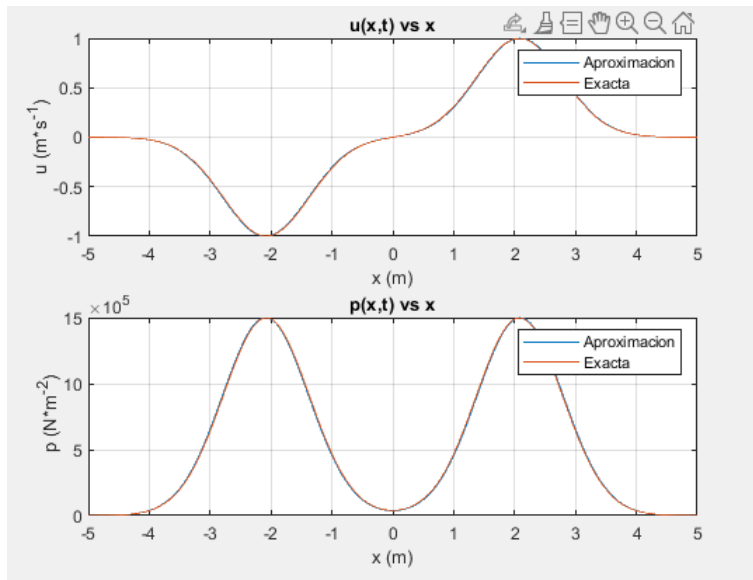
$$\begin{pmatrix} u_i^{n+1} \\ p_i^{n+1} \end{pmatrix} = \left(1 - c_0 \frac{\Delta t}{\Delta x}\right) \begin{pmatrix} u_i^n \\ p_i^n \end{pmatrix} - \frac{\Delta t}{2\Delta x} \left\{ \begin{pmatrix} \frac{p_{i+1}^n - p_{i-1}^n}{\rho_0} \\ (u_{i+1}^n - u_{i-1}^n) \rho_0 c_0^2 \end{pmatrix} - c_0 \begin{pmatrix} u_{i+1}^n + u_{i-1}^n \\ p_{i+1}^n + p_{i-1}^n \end{pmatrix} \right\} \quad (11)$$

- N nodos. Condición de frontera: $\vec{\omega}_1^n = \vec{\omega}_2^n$ y $\vec{\omega}_N^n = \vec{\omega}_{N-1}^n$.

Discretización de ambos problemas. Método de Godunov



Discretización de ambos problemas. Método de Godunov



$$\text{Norma 1} \longrightarrow \epsilon_{\Delta x}^1(t^f) = \Delta x \sum_{j=1}^M \|\omega(x_j, t^f) - \omega_j^N\| \quad (12)$$

$$\text{Norma infinito} \longrightarrow \epsilon_{\Delta x}^\infty(t^f) = \max \|\omega(x_j, t^f) - \omega_j^N\| \quad (13)$$

- Mallados con $\Delta x_k, \Delta x_{k+1} \dots$ Si cumplen $\frac{\Delta x_{k+1}}{\Delta x_k} = 2$

$$p_k = \frac{\ln(\mathbb{K}_k)}{\ln(2)} \quad , \quad \mathbb{K}_k = \frac{\epsilon_{\Delta x_k}(t^f)}{\epsilon_{\Delta x_{k+1}}(t^f)} \quad , \quad k = 1, 2, \dots \quad (14)$$

- Tres mallados con 1000, 2000 y 3000 nodos:

Nodos	$\epsilon_{\Delta x}^1(t^f)$	p_k	$\epsilon_{\Delta x}^\infty(t^f)$	p_k
1000	0.01159121	1.00000124	0.20946289	0
2000	0.00579560	0.42040201	0.20946289	0.048011716
3000	0.00380645	—	0.20260685	—

- Número de Courant

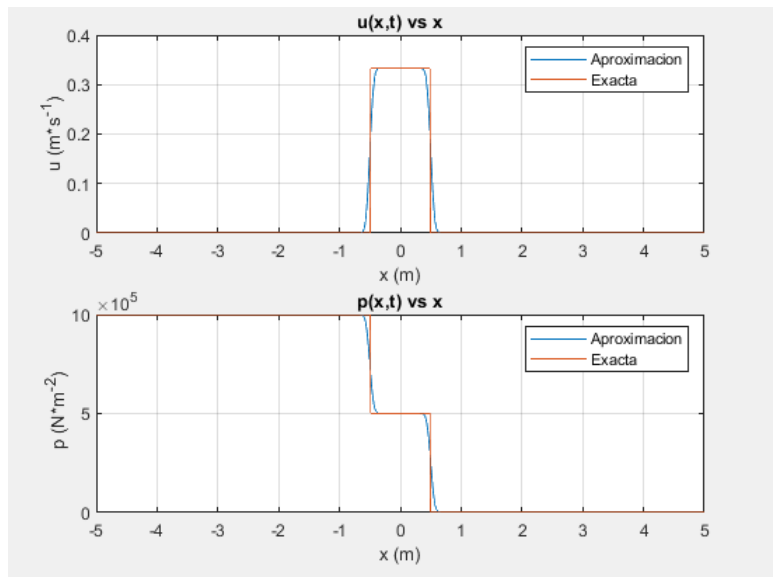
$$\mu = c_0 \frac{\Delta t}{\Delta x} \quad (15)$$

- Tres casos posibles:

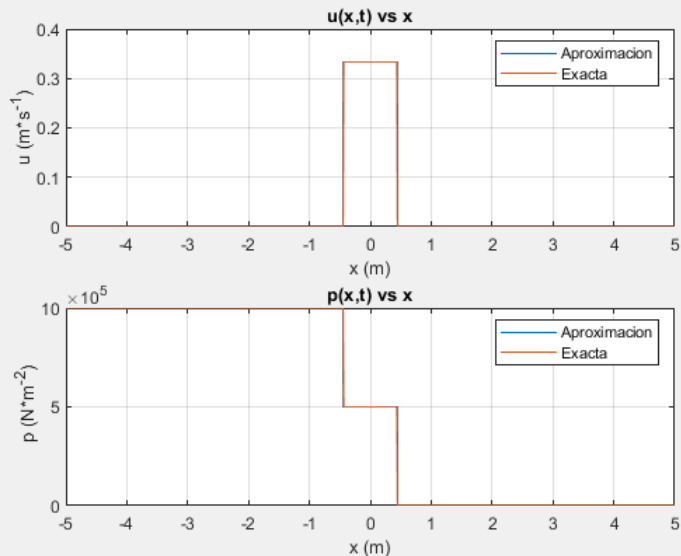
- $\mu < 1 \longrightarrow$ Método estable.
- $\mu = 1 \longrightarrow$ El método converge.
- $\mu > 1 \longrightarrow$ El método es inestable y no converge

- Comparamos $\mu = 0,5$, $\mu = 1$, $\mu = 1,5$, :

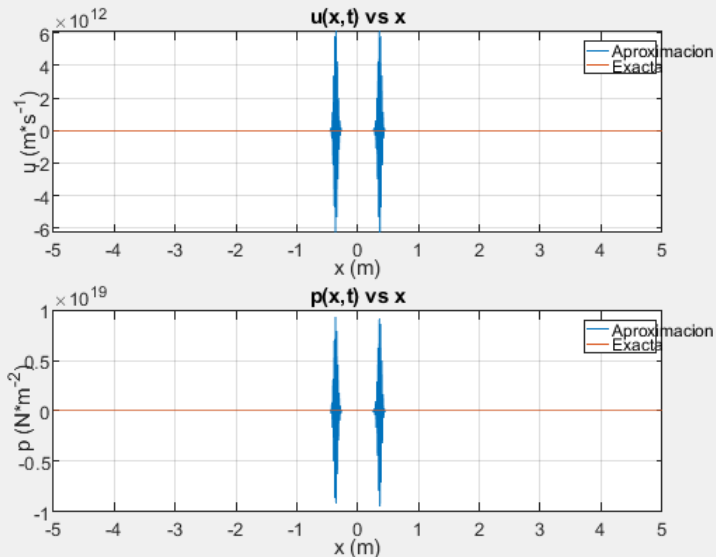
Estabilidad del método ($\mu = 0,5$)



Estabilidad del método ($\mu = 1$)



Estabilidad del método ($\mu = 1,5$)



1. M. E. Vázquez Cendón. *Introducción al método de volúmenes finitos*. Manuais Universitarios, USC Publicacións, 2008.
2. M. E. Vázquez Cendón. *Solving Hyperbolic Equations with Finite Volume Methods*. Springer, 2015.